

Т.В. НИКОНЕНКОВА

РЕШЕНИЕ n-ФАЗНОЙ ЗАДАЧИ \mathbb{R} -ЛИНЕЙНОГО СОПРЯЖЕНИЯ

Аннотация. В работе получено аналитическое решение задачи линейного сопряжения, к которой приводится проблема распределения силовых полей различной физической природы в кусочно-однородной плоской среде, состоящей из нескольких однородных компонентов, разделенных ветвями софокусных гипербол.

Ключевые слова: гетерогенные среды, задача \mathbb{R} -линейного сопряжения, аналитические функции.

УДК: 517.544

Abstract. We consider the problem of the distribution of power fields of various physical nature in a piecewise homogeneous planar medium consisting of several homogeneous components separated by branches of confocal hyperbolas. We reduce this problem to the linear conjugation problem and solve the latter analytically.

Keywords: heterogeneous media, \mathbb{R} -linear conjugation problem, analytic functions.

1. ВВЕДЕНИЕ

Гетерогенные среды широко представлены во многих областях техники и науки в целом. Их созданию и изучению уделяется большое внимание, а сфера приложений гетерогенных сред постоянно расширяется.

Одна из основных задач общей теории гетерогенных сред состоит в том, чтобы по заданным свойствам и составу отдельных компонентов кусочно-однородной среды построить полную картину распределения соответствующего силового поля. Как известно ([1], с. 38), такая задача для плоских и цилиндрических структур может быть описана следующим образом. Требуется построить плоскопараллельное стационарное силовое поле $\mathbf{v}(x, y) = (v_x, v_y) = \mathbf{v}_p(x, y)$, $(x, y) \in S_p$, $p = \overline{1, N}$, удовлетворяющее уравнениям неразрывности и потенциальности

$$\operatorname{div} \mathbf{v}_p(x, y) = 0, \quad \operatorname{rot} \mathbf{v}_p(x, y) = 0, \quad (1)$$

в каждой изотропной фазе S_p рассматриваемой гетерогенной среды.

Дополнительными соотношениями, устанавливающими связь между векторами \mathbf{v}_p и \mathbf{v}_q на границе раздела (\mathcal{L}) разнородных фаз S_p и S_q , служат равенства предельных значений

Поступила 09.10.2009

Работа выполнена в рамках Федеральной целевой программы “Научные и научно-педагогические кадры инновационной России” на 2009–2013 годы (контракт П944 от 20.08.09) и финансовой поддержке гранта Российского фонда фундаментальных исследований № 09-01-12188-офи_м.

их нормальных и пропорциональности касательных составляющих

$$[\mathbf{v}_p(x, y)]_n = [\mathbf{v}_q(x, y)]_n, \quad \rho_p[\mathbf{v}_p(x, y)]_\tau = \rho_q[\mathbf{v}_q(x, y)]_\tau, \quad (x, y) \in \mathcal{L}, \quad (2)$$

где коэффициент пропорциональности $\rho_p \geq 0$ определяет локальные свойства среды.

В данной статье рассмотрено обобщение работ [2]–[4] на случай m -фазной среды, в предположении, что граница контакта раздела разнородных фаз состоит из $(m - 1)$ ветвей софокусных гипербол. Для поставленной задачи найдено аналитическое решение и продемонстрировано распределение силовых полей, соответствующих полученному решению.

В дальнейшем физическую плоскость (x, y) будем интерпретировать как плоскость комплексного переменного $z = x + iy$, а вектор \mathbf{v} — как комплекснозначную функцию $\mathbf{v}(z) = v_x + iv_y$ комплексного аргумента $z = x + iy$.

2. ПОСТАНОВКА ЗАДАЧИ

Пусть кусочно-однородная плоская среда состоит из m различных компонентов S_k (рис. 1), отделенных друг от друга $(m - 1)$ ветвями софокусных гипербол \mathcal{L}_k :

$$\frac{x^2}{a_k^2} - \frac{y^2}{b_k^2} = 1, \quad a_k^2 + b_k^2 = c^2, \quad k = \overline{1, m-1}, \quad (3)$$

где a_k — вершины гипербол, пронумерованные в порядке убывания, т. е. $-c < a_{m-1} < \dots < a_1 < c$. Через S_k обозначим область, границей которой является объединение $\mathcal{L}_{k-1} \cup \mathcal{L}_k$, $k = \overline{1, m+1}$ ($\mathcal{L}_0 = \mathcal{L}_{m+1} = \emptyset$).

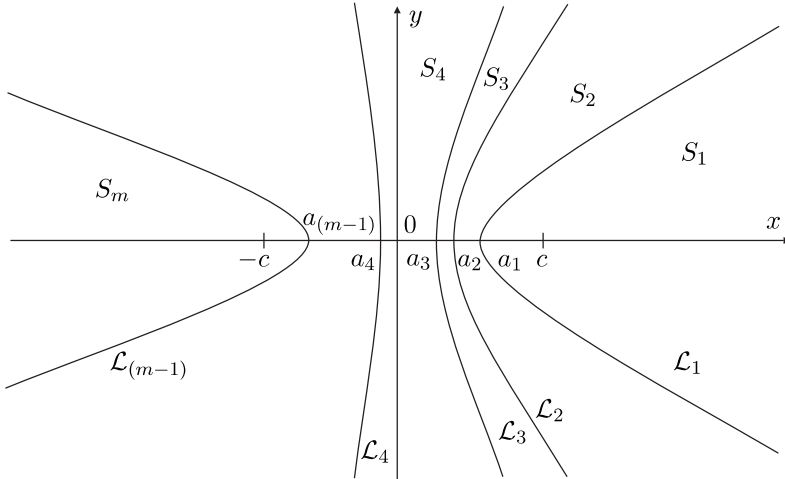


Рис. 1. m -фазная среда

Необходимо найти комплексно-сопряженную с $\mathbf{v}(z)$ функцию $v(z) = v_k(z) = v_{kx}(x, y) - iv_{ky}(x, y)$ по краевым условиям:

$$v_k(t) = A_k v_{k+1}(t) - B_k [t'(s)]^{-2} \overline{v_{k+1}(t)}, \quad t \in \mathcal{L}_k, \quad k = \overline{1, m-1}, \quad (4)$$

с вещественными коэффициентами

$$A_k = \frac{\rho_k + \rho_{k+1}}{2\rho_k}, \quad B_k = \frac{\rho_k - \rho_{k+1}}{2\rho_k}, \quad k = \overline{1, m-1}. \quad (5)$$

В силу (1) функция $v(z)$ должна быть голоморфной в каждом из компонентов S_k , $k = \overline{1, m}$, и непрерывной всюду в замыкании \bar{S}_k , за исключением лишь бесконечно удаленной точки, где у $v(z)$ допускается особенность порядка не выше единицы:

$$|v(z)| = o(|z|) \text{ при } |z| \gg 1. \quad (6)$$

Через $t(s)$ в условиях (4) обозначена функция точки контура $\mathcal{L} = \bigcup_{k=1}^{m-1} \mathcal{L}_k$ от натурального параметра s , производная $t'(s) = \exp(i\beta(s))$ которой совпадает с единичным вектором касательной к \mathcal{L}_k в точке $t = t(s)$ ($\beta(s)$ — угол, который касательная к дуге \mathcal{L}_k в точке t образует с вещественной осью).

В монографии ([1], с. 53) доказано, что задача (1), (2) эквивалентна задаче (4), (5), именуемой в теории аналитических функций задачей \mathbb{R} -линейного сопряжения (или обобщенной задачей Римана).

3. РЕШЕНИЕ ЗАДАЧИ (4)–(6) В СЛУЧАЕ РАЗНОРОДНЫХ СОФОКУСНЫХ ГИПЕРБОЛИЧЕСКИХ ВКЛЮЧЕНИЙ

Так как рассматриваемая структура симметрична относительно вещественной оси, то легко показать, что вместе с функцией $v(z)$ решением задачи (4) с вещественными коэффициентами A_k, B_k будет и функция $\overline{v(\bar{z})}$. В связи с этим представим

$$v(z) = v_R(z) + v_I(z), \quad (7)$$

где $v_R(z) = (v(z) + \overline{v(\bar{z})})/2$ и $v_I(z) = (v(z) - \overline{v(\bar{z})})/2$ — частные решения той же задачи. Очевидно, эти частные решения удовлетворяют условиям симметрии

$$\overline{v_R(\bar{z})} \equiv v_R(z) \text{ и } \overline{v_I(\bar{z})} \equiv -v_I(z). \quad (8)$$

Следовательно, функции $v_R(z), v_I(z)$ достаточно определить лишь в верхней полуплоскости $\mathbb{C}^+ = \{z : \operatorname{Im} z > 0\}$.

Функция

$$\zeta(z) = \frac{1}{c}(z + \sqrt{z^2 - c^2}), \quad (9)$$

обратная к

$$z(\zeta) = \frac{c}{2} \left(\zeta + \frac{1}{\zeta} \right), \quad (10)$$

конформно отображает полуплоскость \mathbb{C}^+ на область S^* — верхнюю полуплоскость с выброшенным единичным полукругом (рис. 2). При этом верхние половины гипербол $\mathcal{L}^+ = \mathcal{L} \cap \mathbb{C}^+$ переходят в лучи $l_j^+ = \{\zeta : \arg \zeta = \pi \alpha_j, |\zeta| > 1\}$ ($j = \overline{1, m-1}$), разделяющие S^* на области S_k^* , прообразами которых являются S_k^+ — верхние половины областей S_k , $k = \overline{1, m}$.

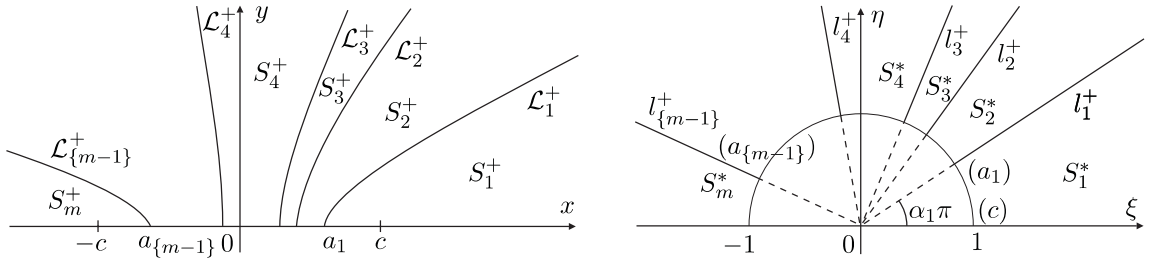


Рис. 2. Верхняя полуплоскость плоскости z и ее образ в плоскости ζ при отображении с помощью функции (9)

Заметим, что при этом отображении для функции $[t'(s)]^{-2}$, как было показано в ([5], с. 65), в плоскости ζ справедливо следующее представление:

$$\left(\frac{dt}{ds}\right)^{-2} = \frac{(\tau - 1/\tau) \cos 2\pi\alpha_j - i(\tau + 1/\tau) \sin 2\pi\alpha_j}{\tau - 1/\tau} = \frac{\tau e^{-2\pi\alpha_j i} - (\tau e^{-2\pi\alpha_j i})^{-1}}{\tau - 1/\tau} = \frac{\overline{\tau - 1/\tau}}{\tau - 1/\tau},$$

где $t \in \mathcal{L}_j^+$, $\tau = |\tau|e^{\pi\alpha_j i} \in l_j^+$, $a_j + ib_j = c \exp(i\pi\alpha_j)$, $j = \overline{1, m-1}$.

Таким образом, граничные условия (4) принимают вид

$$v_k\left(\frac{c}{2}(\tau + 1/\tau)\right) = A_k v_{k+1}\left(\frac{c}{2}(\tau + 1/\tau)\right) - B_k \frac{\overline{\tau - 1/\tau}}{\tau - 1/\tau} \overline{v_{k+1}\left(\frac{c}{2}(\tau + 1/\tau)\right)}, \quad \tau \in l_k^+.$$

Тогда функция

$$V(\zeta) = (\zeta - 1/\zeta) v_R\left(\frac{c}{2}(\zeta + 1/\zeta)\right) \quad (11)$$

должна удовлетворять граничным условиям

$$\begin{aligned} V_k(\tau) &= A_k V_{k+1}(\tau) - B_k \overline{V_{k+1}(\tau)}, \quad \tau \in l_k^+; \\ \operatorname{Im} V_1(\xi) &= \operatorname{Im} V_m(-\xi) = 0, \quad \xi > 1; \\ \operatorname{Re} V(\tau) &= 0, \quad |\tau| = 1, \quad \operatorname{Im} \tau > 0. \end{aligned} \quad (12)$$

Последние два условия вытекают из первого условия (8) и того, что функция $(\zeta - 1/\zeta)$ вещественна на действительной оси и чисто мнимая на единичной окружности. Согласно условию (6) и определению (11) решение задачи (12) следует отыскивать в классе функций, удовлетворяющих условиям

$$|V(\zeta)| = o(|\zeta|^2), \quad |\zeta| \gg 1; \quad V(\pm 1) = 0. \quad (13)$$

Отметим, что решение полученной краевой задачи даст лишь одно из частных решений задачи (4), а именно $v_R(z)$. Построение же второго частного решения $v_I(z)$ будет проведено аналогичным образом ниже.

Переходя к решению задачи (12)–(13), продолжим функцию $V(\zeta)$ из S^* в полукруг $\{\zeta : |\zeta| < 1, \operatorname{Im} \zeta > 0\}$. Это можно сделать на основании последнего условия (12) при помощи принципа симметрии Римана–Шварца. Сохраняя для продолженной функции старое обозначение $V(\zeta)$ и учитывая вещественность коэффициентов A_k, B_k , перепишем задачу (12) в виде

$$V_k(\tau) = A_k V_{k+1}(\tau) - B_k \overline{V_{k+1}(\tau)}, \quad \tau \in l_k = \{\tau : \arg \tau = \pi\alpha_k\}, \quad k = \overline{1, m-1}, \quad (14)$$

с дополнительными условиями (13) и

$$\begin{aligned} \operatorname{Im} V_1(\xi) &= \operatorname{Im} V_m(-\xi) = 0, \quad \xi > 0, \\ |V(\zeta)| &= o(|\zeta|^{-2}), \quad |\zeta| \ll 1; \quad \overline{V(1/\bar{\zeta})} \equiv -V(\zeta). \end{aligned} \quad (15)$$

Рассмотрим функцию $\omega(\zeta) = \zeta^\gamma$ с действительным показателем γ , т. е. ветвь этой функции, фиксированную в полуплоскости \mathbb{C}^+ и принимающую вещественные значения на положительной полуоси. Очевидно, для выбранной ветви справедливо тождество $\omega(1/\bar{\zeta}) \equiv 1/\omega(\zeta)$, на основании которого функция

$$V(\zeta) = V_k(\zeta) = c_{1k}(e^{i\pi\varphi_k} \zeta^\gamma - e^{-i\pi\varphi_k} \zeta^{-\gamma}), \quad \pi\alpha_{k-1} \leq \arg \zeta \leq \pi\alpha_k, \quad k = \overline{1, m}, \quad (16)$$

с $\alpha_0 = 0$, $\alpha_m = 1$, $\varphi_1 = 0$, $\varphi_m = -\gamma$, при произвольных вещественных c_{1k} , $-1/2 < \varphi_k < 1/2$, $0 < \gamma < 2$, удовлетворяет всем условиям (13), (15). Подставим теперь функцию (16) в граничные условия (14), учитывая справедливые на l_j равенства $\tau = re^{i\pi\alpha_j}$. Приравнивая

коэффициенты при $r^{\pm\gamma}$, получим относительно неопределенных параметров $\gamma, \varphi_k, c_{1k}, k = \overline{1, m}$, систему

$$\begin{aligned} c_{1k} \cos[\pi(\varphi_k + \gamma\alpha_k)] - (A_k - B_k)c_{1k+1} \cos[\pi(\varphi_{k+1} + \gamma\alpha_k)] &= 0, \\ c_{1k} \sin[\pi(\varphi_k + \gamma\alpha_k)] - c_{1k+1} \sin[\pi(\varphi_{k+1} + \gamma\alpha_k)] &= 0, \end{aligned} \quad k = \overline{1, m-1}, \quad (17)$$

где $\varphi_1 = 0, \varphi_m = -\gamma$.

Система (17) состоит из $(m-1)$ подсистем, являющихся линейными, однородными относительно коэффициентов c_{1k} и c_{1k+1} соответственно. Эти подсистемы (как и вся система в целом) имеют нетривиальные решения лишь в том случае, когда определитель каждой подсистемы обращается в нуль, т. е.

$$\sin[\pi(\varphi_{k+1} - \varphi_k)] + \Delta_k \sin[\pi(2\gamma\alpha_k + \varphi_k + \varphi_{k+1})] = 0, \quad k = \overline{1, m-1}, \quad (18)$$

где $\Delta_k = B_k/A_k, k = \overline{1, m-1}$.

Условия (18) в свою очередь представляют собой систему уравнений относительно неизвестных γ и $\varphi_k, k = \overline{2, m-1}$, так как $\varphi_1 = 0, \varphi_m = -\gamma$. Перепишем систему (18) в виде

$$\begin{aligned} \sin[\pi\varphi_2]f_1^1 + \cos[\pi\varphi_2]f_1^2 &= 0, \\ \sin[\pi\varphi_k]\{\sin[\pi\varphi_{k+1}]f_k^2 + \cos[\pi\varphi_{k+1}](2 - f_k^1)\} - \\ - \cos[\pi\varphi_k]\{\sin[\pi\varphi_{k+1}]f_k^1 + \cos[\pi\varphi_{k+1}]f_k^2\} &= 0, \quad k = \overline{2, m-1}, \end{aligned} \quad (19)$$

где f_k^j выражаются по формулам

$$f_k^1(\gamma) = 1 + \Delta_k \cos[2\pi\gamma\alpha_k], \quad f_k^2(\gamma) = \Delta_k \sin[2\pi\gamma\alpha_k], \quad k = \overline{1, m-1}. \quad (20)$$

Покажем теперь, что (19) приводится к системе

$$\sin[\pi\varphi_k]W_k^1(\gamma) + \cos[\pi\varphi_k]W_k^2(\gamma) = 0, \quad k = \overline{2, m}, \quad (21)$$

где W_k^1, W_k^2 определяются рекуррентными соотношениями

$$W_{k+1}^1 = W_k^1 f_k^1 + W_k^2 f_k^2, \quad W_{k+1}^2 = W_k^1 f_k^2 + W_k^2 (2 - f_k^1), \quad k = \overline{2, m-1}, \quad (22)$$

а $W_2^1 = f_1^1, W_2^2 = f_1^2$.

Действительно, первые два уравнения системы (19) составляют систему линейных однородных уравнений второго порядка относительно $\sin[\pi\varphi_2]$ и $\cos[\pi\varphi_2]$, которая разрешима лишь в случае, когда равен нулю ее определитель

$$\sin[\pi\varphi_3](f_1^1 f_2^1 + f_1^2 f_2^2) + \cos[\pi\varphi_3](f_1^1 f_2^2 + f_1^2 (2 - f_2^1)) = 0.$$

Таким образом, учитывая обозначение (22), пришли ко второму уравнению системы (21). Аналогичным образом, комбинируя это уравнение с третьим уравнением системы (19), придем к третьему уравнению системы (21). Продолжая этот процесс, систему (19) сведем к системе (21).

Последнее уравнение системы (21) в силу равенства $\varphi_m = -\gamma$ и соотношений (20), (22) представляет собой уравнение относительно $\gamma \in (0, 2)$

$$\sin[\pi\gamma]W_m^1(\gamma) - \cos[\pi\gamma]W_m^2(\gamma) = 0. \quad (23)$$

Для каждого решения уравнения (23) на основании (21) найдем

$$\varphi_k^1(\gamma) = -\frac{1}{\pi} \operatorname{arctg} \left[\frac{W_k^2(\gamma)}{W_k^1(\gamma)} \right], \quad k = \overline{2, m-1}. \quad (24)$$

Разрешая теперь систему (17) относительно неизвестных c_{1k} , с учетом системы (18) получим

$$c_{1k+1} = c_{1k} \Lambda_{1k}(\gamma) = \frac{c_{1k}}{A_k - B_k} \begin{cases} \frac{B_k \sin[2\pi(\varphi_k^1(\gamma) + \gamma\alpha_k)]}{\sin[\pi(\varphi_{k+1}^1(\gamma) - \varphi_k^1(\gamma))]}, & \varphi_k^1(\gamma) \neq \varphi_{k+1}^1(\gamma); \\ 1, & \varphi_k^1(\gamma) = \varphi_{k+1}^1(\gamma), \end{cases} \quad (25)$$

где $k = \overline{1, m-1}$, $\rho_k \neq \rho_{k+1}$, $\varphi_1^1(\gamma) \equiv 0$, $\varphi_m^1(\gamma) = -\gamma$, c_{11} — произвольная вещественная константа, отличная от нуля, $0 < \gamma < 2$ — решение уравнения (23).

Частное решение $v_I(z)$ задачи (4), удовлетворяющее второму условию (8), аналогичным образом отыскивается в виде

$$V(\zeta) = V_k(\zeta) = i c_{2k} (e^{i\pi\varphi_k} \zeta^\gamma - e^{-i\pi\varphi_k} \zeta^{-\gamma}), \quad \pi\alpha_{k-1} \leq \arg \zeta \leq \pi\alpha_k, \quad k = \overline{2, m}, \quad (26)$$

где $\alpha_0 = 0$, $\alpha_m = 1$, $\varphi_1 = 0$, $\varphi_m = -\gamma$, c_{2k} — вещественные коэффициенты, $0 < \gamma < 2$ и $-1/2 < \varphi_k < 1/2$ — неизвестные параметры. Аналогично системе (21) получаем систему

$$\sin[\pi\varphi_k] W_k^1(\gamma) + \cos[\pi\varphi_k] W_k^2(\gamma) = 0, \quad k = \overline{2, m}, \quad (27)$$

где

$$\begin{aligned} W_{k+1}^1 &= W_k^1 f_k^1 + W_k^2 f_k^2, \quad W_{k+1}^2 = W_k^1 f_k^2 + W_k^2 (2 - f_k^1), \quad k = \overline{2, m-1}, \\ f_k^1(\gamma) &= 1 - \Delta_k \cos[2\pi\gamma\alpha_k], \quad f_k^2(\gamma) = -\Delta_k \sin[2\pi\gamma\alpha_k], \quad k = \overline{1, m-1}, \end{aligned}$$

$$W_2^1 = f_1^1, \quad W_2^2 = f_1^2.$$

Здесь, как и выше, неизвестные параметры $-1/2 < \varphi_k < 1/2$ выражаются по формулам

$$\varphi_k^2(\gamma) = -\frac{1}{\pi} \operatorname{arctg} \left[\frac{W_k^2(\gamma)}{W_k^1(\gamma)} \right], \quad k = \overline{2, m-1}, \quad (28)$$

где $\gamma \in (0, 2)$ — решение последнего уравнения системы (27)

$$\sin[\pi\gamma] W_m^1(\gamma) - \cos[\pi\gamma] W_m^2(\gamma) = 0. \quad (29)$$

Вещественные коэффициенты c_{2k} имеют вид

$$c_{2k+1} = c_{2k} \Lambda_{2k}(\gamma) = \frac{c_{2k}}{B_k - A_k} \begin{cases} \frac{B_k \sin[2\pi(\varphi_k^2(\gamma) + \gamma\alpha_k)]}{\sin[\pi(\varphi_{k+1}^2(\gamma) - \varphi_k^2(\gamma))]}, & \varphi_k^2(\gamma) \neq \varphi_{k+1}^2(\gamma); \\ -1, & \varphi_k^2(\gamma) = \varphi_{k+1}^2(\gamma), \end{cases} \quad (30)$$

где $k = \overline{1, m-1}$, $\rho_k \neq \rho_{k+1}$, $\varphi_1^2(\gamma) \equiv 0$, $\varphi_m^2(\gamma) = -\gamma$, c_{21} — произвольная вещественная константа, $0 < \gamma < 2$ — решение уравнения (29).

В частности, если $\rho_k = \rho_{k+1}$, то имеем очевидные равенства $\varphi_k^j = \varphi_{k+1}^j$, $c_{jk} = c_{jk+1}$, $j = 1, 2$.

Полученные результаты сформулируем в виде теоремы.

Теорема. В невырожденных и во всех непредельных случаях $\Delta_j = B_j/A_j \neq 0, \pm 1$ ($j = \overline{1, m-1}$) задача (4) для гиперболических включений (3) разрешима. При $\alpha_k = \pi^{-1} \arg(a_k + ib_k) \in (0, 1)$ она имеет решение вида

$$v_k(z) = \sum_{j=1}^l c_j \chi(z; \gamma_j; \varphi_k^1(\gamma_j)) \prod_{q=1}^{k-1} \Lambda_{1q}(\gamma_j) + i \sum_{j=l+1}^d c_j \chi(z; \gamma_j; \varphi_k^2(\gamma_j)) \prod_{q=1}^{k-1} \Lambda_{2q}(\gamma_j), \quad k = \overline{1, m},$$

где γ_k , $k = \overline{1, l}$, — корни уравнения (23), а γ_k , $k = \overline{l+1, d}$, — корни уравнения (29); $\varphi_1^j(\gamma) \equiv 0$, $\varphi_m^j(\gamma) = -\gamma$, а $\varphi_k^j(\gamma)$, $k = \overline{2, m-1}$, $j = 1, 2$, определяются по формулам (24), (28) соответственно. Функция

$$\chi(z; \gamma; \varphi) = \frac{e^{i\pi\varphi}(z + \sqrt{z^2 - c^2})^\gamma - e^{-i\pi\varphi}(z - \sqrt{z^2 - c^2})^\gamma}{2\sqrt{z^2 - c^2}}, \quad \chi(\pm c; \gamma; 0) = \pm \gamma c^{\gamma-1},$$

принимает вещественные значения на действительной оси, константы Λ_{1k} , Λ_{2k} определяются соотношениями (25), (30), c_k ($k = \overline{1, d}$) — произвольные вещественные параметры.

Замечание 1. В случае двухфазной среды ($m = 2$), когда линия раздела фаз состоит из одной ветви гиперболы (3), из (5), (18) легко показать, что при $\rho_1 \neq \rho_2$

$$\varphi(\gamma) = \varphi_2(\gamma) = \begin{cases} -\gamma, & 0 < \gamma < 0.5; \\ 1 - \gamma, & 0.5 < \gamma < 1.5; \\ 2 - \gamma, & 1.5 < \gamma < 2, \end{cases} \quad (31)$$

где γ — решение уравнений

$$\sin \pi\gamma \pm \Delta_1 \sin \pi\gamma(1 - 2\alpha_1) = 0, \quad (32)$$

вытекающих из (23) и (29) соответственно. При этом неизвестные коэффициенты c_{mk} определяются соотношениями

$$c_{j2} = (-1)^j c_{j1} \frac{B_1 \sin 2\pi\gamma\alpha_1}{(B_1 - A_1) \sin \pi\varphi(\gamma)}, \quad j = 1, 2,$$

в силу которых, а также в силу представлений (31) и (32) приходим к результату, полученному в [2].

В другом частном случае, когда $n = 3$, $\rho_1 = \rho_3$, $\alpha_1 = 1 - \alpha_2$, но $\rho_1 \neq \rho_2$, наряду с симметрией относительно вещественной оси имеем симметрию и относительно мнимой оси

$$\begin{aligned} \overline{V_1(-\bar{\zeta})} &= -V_3(\zeta), \quad \overline{V_2(-\bar{\zeta})} = -V_2(\zeta) \quad \text{при } V(\zeta) = (\zeta - 1/\zeta) v_R \left(\frac{c}{2} (\zeta + 1/\zeta) \right); \\ \overline{V_1(-\bar{\zeta})} &= V_3(\zeta), \quad \overline{V_2(-\bar{\zeta})} = V_2(\zeta) \quad \text{при } V(\zeta) = (\zeta - 1/\zeta) v_I \left(\frac{c}{2} (\zeta + 1/\zeta) \right), \end{aligned}$$

на основании которой получаем решение, представленное ранее в [3].

Замечание 2. Комплексный потенциал, соответствующий полученному решению, с точностью до произвольных констант может быть выражен соотношениями

$$w_k(z) = \sum_{j=1}^l c_j \chi_0(z; \gamma_j; \varphi_k^1(\gamma_j)) \prod_{q=1}^{k-1} \Lambda_{1q}(\gamma_j) + i \sum_{j=l+1}^d c_j \chi_0(z; \gamma_j; \varphi_k^2(\gamma_j)) \prod_{q=1}^{k-1} \Lambda_{2q}(\gamma_j) + \widetilde{C}_k,$$

где

$$\chi_0(z; \gamma; \varphi_k) = (e^{i\pi\varphi_k}(z + \sqrt{z^2 - c^2})^\gamma + e^{-i\pi\varphi_k}(z - \sqrt{z^2 - c^2})^\gamma).$$

Здесь γ_k , c_k , φ_k^j и $\Lambda_{jk}(\gamma)$, $j = 1, 2$, определяются точно так же, как и в теореме выше, а действительные части \widetilde{C}_k могут быть найдены из граничных условий (2).

Замечание 3. Вопрос о том, какие условия обеспечивают существование и единственность решения задачи (4), (5), упирается в вопрос о разрешимости и числе возможных решений уравнений (23), (29). Последние допускают в общем случае лишь численные решения. В работе [2] было показано, что в случае $m = 1$ соответствующие уравнения имеют не более трех решений в совокупности. В симметричном случае при $m = 2$, рассмотренном в

[3], каждое из уравнений (23), (29) имеет в точности по одному решению. В общем случае аналитическое исследование трансцендентных уравнений (23), (29), зависящих от большого числа параметров, не представляется возможным. В рамках численного эксперимента, проведенного с помощью команды `FindRoot` (пакет *Mathematica*) для широкого спектра параметров было установлено, что каждое из этих уравнений имеет на интервале $(0, 2)$ не менее одного, но не более двух решений.

Если оставить по одному решению уравнений (23), (29) и задать значение скорости в какой-либо фиксированной точке, например, в точке $z = c$,

$$v_1(c) = V_0 = V_{0x} - iV_{0y},$$

то соответствующее решение задачи (4), (5) получим в виде

$$v_k(z) = \frac{V_{0x}}{\gamma_1 c^{\gamma_1-1}} \chi(z; \gamma_1; \varphi_k^1(\gamma_j)) \prod_{s=1}^{k-1} \Lambda_{1s}(\gamma_1) - i \frac{V_{0y}}{\gamma_2 c^{\gamma_2-1}} \chi(z; \gamma_2; \varphi_k^2(\gamma_j)) \prod_{s=1}^{k-1} \Lambda_{2s}(\gamma_2),$$

где γ_1, γ_2 — выбранные решения уравнений (23) и (29) соответственно.

В заключение автор хотел бы выразить признательность своему научному руководителю Ю.В. Обносову за постоянное внимание к работе.

ЛИТЕРАТУРА

- [1] Емец Ю.П. *Краевые задачи электродинамики анизотропно проводящих сред* (Наук. думка, Киев, 1987).
- [2] Обносов Ю.В. *Решение задачи R-линейного сопряжения в случае гиперболической линии разделения разнородных фаз*, Изв. вузов. Математика, № 7, 53–62 (2004).
- [3] Obnosov Yu.V., Nikonenkova T.V. *Solution of an \mathbb{R} -linear conjugation problem on the case of hyperbolic interface*, Lithuanian Math. J. **48** (3), 322–331 (2008).
- [4] Никоненкова Т.В. *Об одной трехфазной задаче R-линейного сопряжения*, Учен. зап. Казанск. ун-та. Сер. физ.-мат. наук **150** (4), 127–136 (2008).
- [5] Обносов Ю.В. *Краевые задачи теории гетерогенных сред: многофазные среды, разделенные кривыми второго порядка* (Изд-во Казанск. ун-та, Казань, 2009).

Т.В. Никоненкова

аспирант, кафедра дифференциальных уравнений,
Казанский государственный университет,
ул. Кремлевская, д. 18, г. Казань, 420008,

е-mail: nikaatv@rambler.ru

T. V. Nikonenkova

*Postgraduate, Chair of Differential Equations,
Kazan State University,
18 Kremlyovskaya str., Kazan, 420008 Russia,*

е-mail: nikaatv@rambler.ru